

06.3

© 1991

## ЭФФЕКТИВНЫЙ ИНТЕГРАЛЬНО-ОПТИЧЕСКИЙ ПОЛЯРИЗАТОР, ПРОПУСКАЮЩИЙ ТМ-ВОЛНУ

А.Ю. А г а п о в, А.П. Г о р о б е ц,  
П.М. Ж и т к о в, В.М. Ш е в ц о в

Планарные оптические поляризационные фильтры являются важными элементами интегрально-оптических схем [1]. Наиболее эффективным из известных планарных поляризационных фильтров является четырехслойный волновод с буферным слоем на металлической подложке [2]. Такой фильтр пропускает волны TE поляризации и поглощает TM волны. В данной работе показано, что на основе подобной структуры можно создать эффективный поляризатор, пропускающий  $TM_0$  волну и поглощающий TE волны. Для этого в качестве буферного слоя предлагается использовать многослойную диэлектрическую среду, состоящую из периодически чередующихся изотропных пленок с достаточно сильно различающимися показателями преломления, обладающую оптической анизотропией отрицательного одноосного кристалла [3, 4].

Рассмотрим волноводную систему, показанную на рис. 1. Она содержит поглощающую подложку с комплексным показателем преломления  $N = n - j - k$ , буферный слой общей толщиной  $d$ , состоящий из периодически чередующихся изотропных диэлектрических пленок с показателями преломления  $n_1$  и  $n_2$  и толщинами  $t_1$  и  $t_2$  соответственно, причем  $(t_1 + t_2) \ll \lambda_0$ , а также изотропный волноводный слой толщиной  $h$  с показателем преломления  $n_3$ , граничащий со средой с показателем преломления  $n_4$  (обычно воздух). Показатели преломления  $n_o$  для обыкновенной (TE поляризация) и  $n_e$  для необыкновенной (TM поляризация) волн в слоистом буферном слое можно вычислить по формулам [3, 4]:

$$n_o = n_1 (1 + \delta \gamma^2)^{1/2} (1 + \delta)^{-1/2}, \quad n_e = n_2 (1 + \delta)^{1/2} (\gamma^2 + \delta)^{-1/2},$$

где  $\delta = t_2/t_1$ ,  $\gamma = n_2/h$ . Для эффективной работы рассматриваемой системы в качестве поляризатора, пропускающего TM волну, необходимо, чтобы показатель преломления буферного слоя для волн TE поляризации  $n_o$  был больше показателя преломления волноводного слоя  $n_3$ , а для волн TM поляризации должно выполняться обратное соотношение. Расчет  $n_o$  и  $n_e$  производился для значений  $n_1 = 2.1$  ( $Ta_2O_5$ ),  $n_2 = 1.46$  ( $SiO_2$ ),  $\delta = 2$ . Затем путем численного решения дисперсионного уравнения четырехслойного волновода [2] с учетом анизотропии буферного слоя бы-

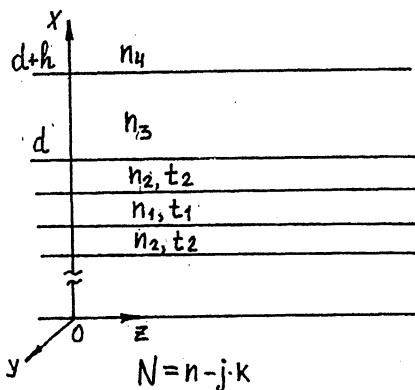


Рис. 1. Многослойный волноводный поляризатор с анизотропным буферным слоем на поглощающей подложке.

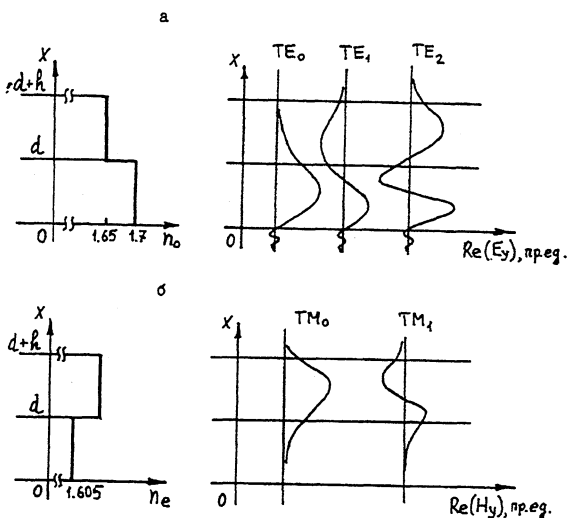


Рис. 2. Профили показателей преломления и эпюры напряженностей полей волноводных мод многослойного поляризатора: а – ТЕ моды, б – ТМ моды.

ли определены коэффициенты затухания нескольких низших волноводных мод в системе. При расчете использовались следующие значения параметров волновода:  $N = 4.18 - j \cdot 1.0$  (аморфный Si),  $n_o = 1.7$ ,  $n_e = 1.605$ ,  $d = 1100$  нм,  $n_3 = 1.65$  ( $Al_2O_3$ ),  $h = 1500$  нм,  $n_4 = 1.0$ ,  $\lambda_o = 633$  нм. Расчетные значения коэффициентов затухания мод составили: для моды  $TM_0$  – 1.6 дБ/см,

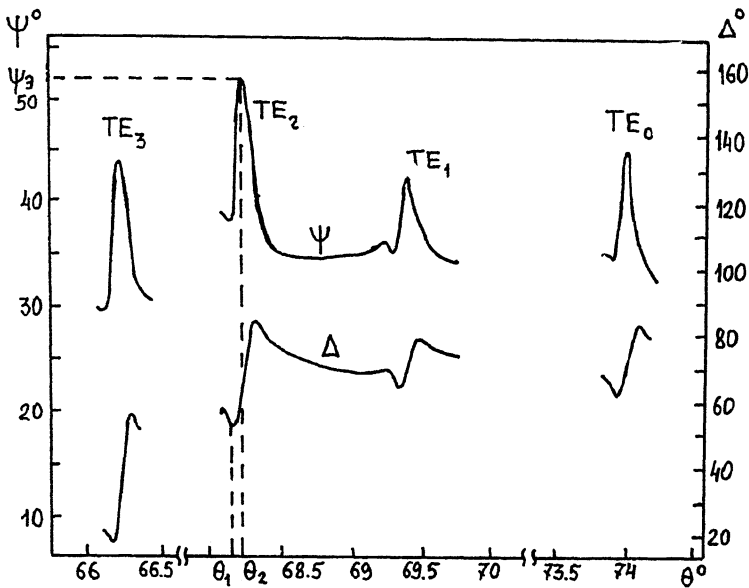


Рис. 3. Экспериментальные зависимости эллипсометрических параметров  $\Psi$  и  $\Delta$  от угла падения излучения  $\theta$  на систему: призма из стекла ТФ-5 - пленка аморфного Si - многослойный буферный слой ( $Ta_2O_5 / SiO_2$ ) - волноводный слой  $Al_2O_3$  - воздух.

для моды  $TM_1$  - 80 дБ/см, для моды  $TE_0$  - 472 дБ/см, для моды  $TE_1$  - 792 дБ/см, для моды  $TE_2$  - 818 дБ/см, для моды  $TE_3$  - 973 дБ/см. На рис. 2 приведены графики распределения показателей преломления в поперечном сечении волновода и профили действительных частей  $E_y$ - и  $H_y$ -компонент поля волноводных мод  $TE$  и  $TM$  поляризаций соответственно. Как видно из рисунка, для моды  $TM_0$  максимум напряженности поля находится в волноводном слое, доля мощности, переносимая модой в поглощающей подложке мала и коэффициент затухания, как видно из расчетов, невелик. Для моды  $TE_0$  максимум поля находится в буферном слое, доля мощности, поглощаемая в подложке, существенно больше, чем в случае моды  $TM_0$ , поэтому мода  $TE_0$  обладает большим коэффициентом затухания. Аналогичные рассуждения справедливы и для мод высших порядков.

Предложенная система была экспериментально реализована следующим образом. На основание полусилиндрической призмы из стекла ТФ-5 методом магнетронного ВЧ-распыления была нанесена пленка из аморфного Si толщиной 37 нм, выполняющая одновременно роли поглощающей подложки и слоя связи призмы с волн-

новодной системой. Буферный слой общей толщиной  $d = 1080$  нм, состоящий из 26 чередующихся пленок  $Ta_2O_5$  толщиной  $t_1 = 13.8$  нм и пленок  $SiO_2$ , толщиной  $t_2 = 27.7$  нм, а также волноводный слой из  $Al_2O_3$  толщиной 1510 нм наносились методом реактивного катионного ВЧ-распыления. Измерение оптических потерь в полученной волноводной системе проводилось на длине волны  $\lambda_o = 633$  нм. Коэффициент затухания моды  $TM_0$  определялся фотометрированием трека и составил величину  $\sim 3$  дБ/см. Коэффициенты затухания мод TE поляризации определялись эллипсометрическим методом [5]. Для определения коэффициента потерь этой моды необходимо измерить угол падения излучения на систему  $\theta_2$  (рис. 3), при котором зависимость  $\psi(\theta)$  имеет максимум, значение этой функции в точке максимума  $\psi_3 = \psi(\theta_2)$  и величину угла  $\theta_1$ , при котором  $A(\theta)$  минимальна. Коэффициент затухания моды при этом определяется по формуле [5]:

$$\alpha = \pi \cdot \lambda_o^{-1} n_p (\sin \theta_2 - \sin \theta_1) (1 + \operatorname{tg} \psi_3) \operatorname{tg}^{-\frac{1}{2}} \psi_3, \quad (1)$$

где  $n_p$  – показатель преломления призмы. На рис. 3 приведены экспериментальные зависимости  $\psi(\theta)$  и  $A(\theta)$  для исследуемой системы, полученные на эллипсометре ЛЭФ-ЗМ. Коэффициент затухания моды  $TE_0$  определенный по формуле (1) с использованием этих зависимостей, составил величину  $\sim 310$  дБ/см, моды  $TE_1$  – 390 дБ/см, моды  $TE_2$  – 490 дБ/см, моды  $TE_3$  – 700 дБ/см.

Таким образом, в работе предложена и экспериментально исследована тонкопленочная система, которая может служить эффективным планарным оптическим поляризатором, пропускающим ТМ волну.

#### Список литературы

- [1] Шереметьев А.Г. Волоконный оптический гироскоп. М.: Радио и связь, 1987. 152 с.
- [2] Yamamoto Y., Kamiya T., Yanai H. // IEEE J. Quant. Electron. 1975. V. 11. N 6. P. 729–736.
- [3] Борн М., Вольф Э. Основы оптики. М.: Наука, 1973. 720 с.
- [4] Сотин В.Е., Шевцов В.М. // Письма в ЖТФ. 1984. Т. 10. В. 8. С. 475–479.
- [5] Житков П.М., Смаль А.С. // Письма в ЖТФ. 1990. Т. 16. В. 20. С. 15–20.

Поступило в Редакцию  
27 июня 1991 г.